

不飽和まさ土のサクションとせん断強度について

山口大学 工学部 正員 ○村田 秀一
 山口大学 工学部 正員 三浦 哲彦
 東洋建設(株) 田中 克典

1. まえがき 不飽和状態にあるまさ土の斜面が降雨時に崩壊する例は後を絶たない。この原因として、雨水の浸透に伴う土のせん断強度の低下が考えられる。まさ土のようが破碎性砂質土の雨水の浸透に伴うせん断特性の変化は、a)毛管結合力効果、b)摩擦効果およびc)粒子破碎効果の変化に起因し、毛管結合力効果は拘束圧が低い場合に寄与する割合が高いこと、摩擦効果はほとんど変化しないこと、および粒子破碎効果は水分と拘束圧の増加に伴って著しく發揮されることを明らかにした。本報告は、乱したまさ土のせん断強度に及ぼす影響を、比較的低い拘束圧下における三軸圧縮試験結果を検討することによって、考察したものである。

2. 試料と実験方法 実験に用いたまさ土は、宇都宮郊外で採取したもので最大粒径4.76mm, $D_{50} = 1.0\text{mm}$, $G_s = 2.63$ である。供試体は、まず気乾状態の試料をタンパ^アで所定の間隙比($e_0 = 0.65 \sim 0.70$)にならまで締固めた後、約4時間程下部ペデスタルより給水して飽和させる($\phi = 50\text{mm}$, $h = 125\text{mm}$)。次に、 $\sigma_3 = 0.3\text{kgf/cm}^2$ で等方圧密後、所定の飽和度にするため約0.2kgf/cm²の真空で脱水する。なお、真空吸引の際は、拘束圧を負压分だけ下げた。この供試体を、ひずみ速度0.1mm/min, 上部排水条件下でせん断し、体積変化量とサクションを測定した。サクションはFig. 1に示すように下部ペデスタルのセラミック板を通じた半導体圧力変換器(TO YODA, PMS-5)を用いて測定し、供試体の体積変化量は、二重ビューレット管を用い、側液の増減から求めた。

3. 実験結果と考察

1)応力・ひずみ・サクションの関係 Fig. 2に、破壊時の飽和度が各々異なる供試体の軸差応力・体積変化・サクション・軸歪曲線の代表例である。いずれの場合においても、体積は収縮→膨張の傾向を示し、ダイレイタンシー指数は飽和度の低下と共に増加している。また、サクションの値は、飽和度の低下と共に増加しているが、せん断中のサクションの値の変動は小さい。また、この図から

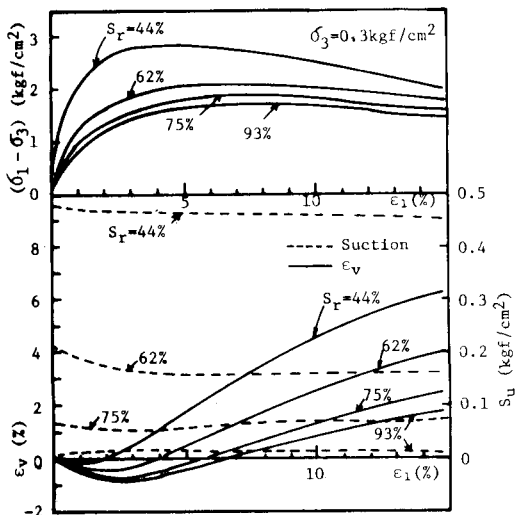


Fig. 2 実験結果

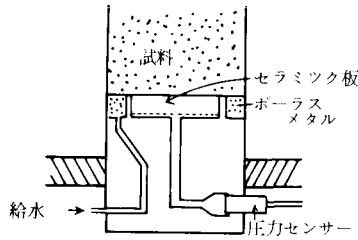
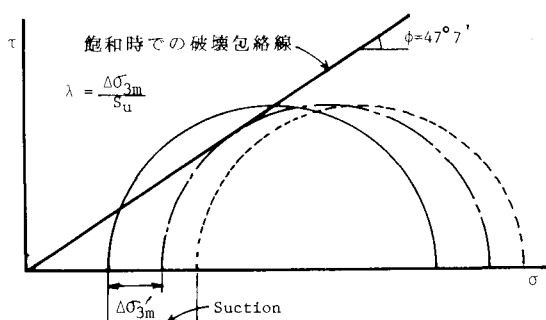


Fig. 1 サクション測定装置部

Fig. 3 増加有効側圧 $\Delta\sigma'_3m$ および定数 λ の求め方

破壊時の軸差応力は、飽和度の低下と共に増加していることが分かる。この増加の要因として、ダイレイタニシ効果、粒子破碎効果、およびサクション効果が考えられるが、ここではサクション効果について論ずる。

2)サクションによる有効側圧の増加 Fig. 2に示したように、せん断中にサクションが生じていて、このサクションにより側圧が見かけ上増加して、破壊時の軸差応力を増加せしめていると考えられる。そこで、側圧の増加と飽和度の関係を明らかにするため次のような方法を試みた。Fig. 3を参照し、飽和状態での破壊包絡線を求め($\phi' = 47^\circ$)、次に、不飽和の供試体の試験結果を用いて、Mohrの応力円(実線)を描き、得られたサクションを両横水圧的に考え、左方に移動する(破線の円)。また、同じ円を飽和時の破壊包絡線上接するよう移動させ(一点破線の円)、この円の最小主応力を求めることによって、サクションによって増加した増加有効側圧 $\Delta\sigma'_m$ を求めることができる。Fig. 4は、 $\Delta\sigma'_m$ と飽和度の関係であるが、飽和度の低下に伴って $\Delta\sigma'_m$ が増加している。次に、Fig. 3において、 $\lambda = \Delta\sigma'_m / S_u$ (ここに S_u :サクション)とすることによって、 $\Delta\sigma'_m$ の S_u に及ぼす寄与率を求めることができる。Fig. 5は、 λ と S_u の関係であるが、 λ は S_u の低下に伴って減少している。

3)せん断強度とサクション 試料の内部摩擦角を ϕ' とすると、 $\Delta\sigma'_m$ による ϕ' の増分 $\Delta\phi'_1 = \frac{1 + \sin\phi'}{1 - \sin\phi'} \Delta\sigma'_m$ となる。Fig. 6は、このようにサクション効果によって増加した $\Delta\phi'_1$ 、および実測で求めた $\Delta\phi_1$ (破壊時の軸差応力-飽和時の破壊時の軸差応力)と飽和度の関係である。この図から明らかのように、飽和度の低下に伴うせん断強度の増分 $\Delta\phi_1$ は、サクションによるせん断強度の増分 $\Delta\phi'_1$ とほぼ良い一致を示すようである。 $\Delta\phi_1$ が $\Delta\phi'_1$ に比較して若干大きくなっているが、この差は、せん断に伴う粒子破碎効果に起因していると考えている。なお、 $S_u = 60\sim 100\%$ において、せん断中に粒子破碎が生じたことは確認してある。また、Fig. 6にサクションによる強度增加の破壊時の軸差応力に対する割合 $\Delta\phi_1 / (\phi'_1 - \phi_3)$ をプロットしたが、飽和度の低下と共に30~40%にもなることが判った。

参考文献 村田・三浦他：まさ土のせん断特性に及ぼす含水比の影響について、土木学会西部支部講演集(昭和58.2)

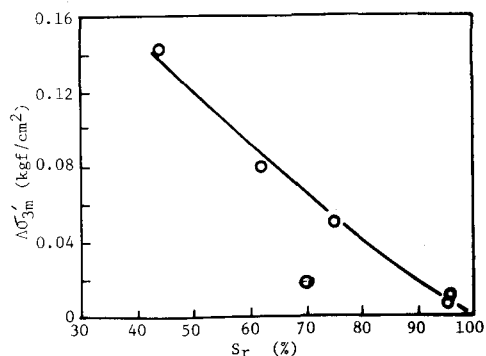


Fig. 4 増加有効側圧と飽和度の関係

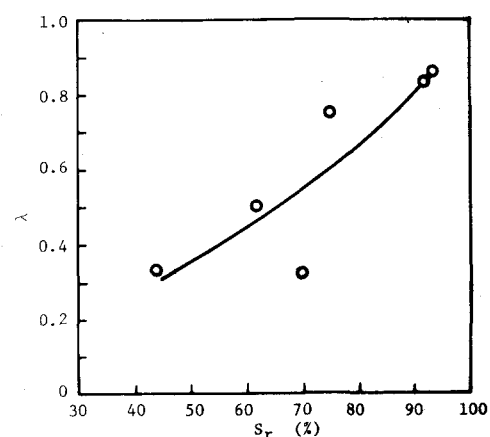


Fig. 5 定数 λ と飽和度の関係

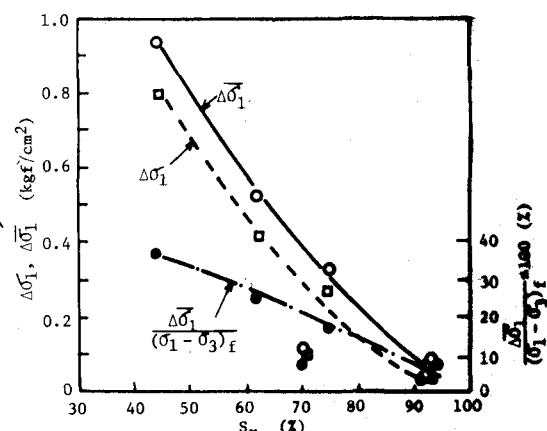


Fig. 6 $\Delta\phi_1$, $\Delta\phi'_1$ および $\Delta\phi_1 / (\phi'_1 - \phi_3)_f$ と S_r の関係